

О ГРАФЕ МНОГОГРАННИКА ПИРАМИДАЛЬНЫХ ЦИКЛОВ \*)

В. А. Бондаренко<sup>а</sup>, А. В. Николаев<sup>б</sup>

Ярославский гос. университет им. П. Г. Демидова,  
ул. Советская, 14, 150003 Ярославль, Россия

E-mail: <sup>а</sup>bond@bond.edu.yar.ru, <sup>б</sup>andrei.v.nikolaev@gmail.com

**Аннотация.** Исследуются свойства полиэдрального графа многогранника пирамидальных циклов. Гамильтонов цикл называется *пирамидальным*, если коммивояжёр начинает путь в городе с номером 1, посещает некоторые города в порядке возрастания номеров, достигает города  $n$  и возвращается в исходный, проходя все оставшиеся города в порядке убывания номеров. Многогранник  $PYR(n)$  определяется как выпуклая оболочка характеристических векторов всех пирамидальных циклов в полном графе  $K_n$ . Объектом исследования выступает полиэдральный граф многогранника пирамидальных циклов, вершинами которого являются вершины многогранника, а рёбрами — геометрические рёбра, т. е. одномерные грани. Описано необходимое и достаточное условие смежности вершин многогранника  $PYR(n)$ . На его основе разработан алгоритм проверки смежности с линейной трудоёмкостью. Установлено, что диаметр полиэдрального графа  $PYR(n)$  равен 2. Найдено асимптотически точное значение  $\Theta(n^2)$  плотности, или кликового числа, полиэдрального графа многогранника пирамидальных циклов. Известно, что данная величина характеризует временную сложность задачи в классе алгоритмов прямого типа, основанных на линейных сравнениях. Ил. 4, библиогр. 23.

**Ключевые слова:** пирамидальный цикл, полиэдральный граф, необходимое и достаточное условие смежности, плотность графа, диаметр графа.

### Введение

Рассматривается классическая постановка симметричной задачи коммивояжёра: задан полный взвешенный неориентированный граф  $K_n$ , найти гамильтонов цикл минимального веса. Обозначим через  $E$  множество

---

\*) Исследование выполнено при финансовой поддержке инициативной НИР ВИП–004 АААА–А16–116070610022–6.

рёбер полного графа  $K_n$ , а через  $HC_n$  — множество всех гамильтоновых циклов в  $K_n$ . Каждому гамильтонову циклу  $x \in HC_n$  сопоставим характеристический вектор  $x^v \in \mathbb{R}^E$  по следующему правилу:

$$x_e^v = \begin{cases} 1, & \text{если ребро } e \in E \text{ входит в цикл } x, \\ 0 & \text{в противном случае.} \end{cases}$$

Многогранник

$$\text{TSP}(n) = \text{conv}\{x^v \mid x \in HC_n\}$$

называется *многогранником симметричной задачи коммивояжёра*.

Частичное описание многогранника задачи коммивояжёра используется в алгоритмах, основанных на методах целочисленного линейного программирования, с помощью которых были получены основные рекордные точные результаты для задач коммивояжёра большой размерности. В том числе классический результат Данцига, Фалкерсона и Джонсона для 49 городов США [12] и оптимальный маршрут для самой большой задачи pla85900 из библиотеки TSPLIB на 85900 городах, возникающей при проектировании интегральных схем (VLSI) и поставленной Джонсоном во время работы в AT&T Labs [7].

Объектом исследования в данной статье служит полиэдральный граф задачи, вершинами которого являются вершины многогранника (характеристические векторы  $x^v$  для задачи коммивояжёра), а рёбрами — геометрические рёбра, т. е. одномерные грани. Изучению свойств полиэдрального графа задачи коммивояжёра посвящено большое число работ. Это обусловлено как прикладной важностью задачи, так и значительной сложностью ассоциированного многогранника. В частности, классический результат Пападимитриу говорит о том, что даже описание графа многогранника  $\text{TSP}(n)$  является непростой задачей.

**Теорема 1** [19]. *Задача распознавания несмежности вершин многогранника  $\text{TSP}(n)$  является NP-полной.*

Несмотря на этот факт, были установлены некоторые свойства полиэдрального графа многогранника задачи коммивояжёра. В частности, исследовались следующие две характеристики: диаметр графа  $d(G)$  — наибольшая длина кратчайшего пути между всеми парами вершин графа  $G$ , а также плотность графа, или кликовое число,  $\omega(G)$  — число вершин в наибольшей клике графа  $G$ .

Исследование диаметра полиэдрального графа мотивировано тем, что данная величина является нижней оценкой на число невырожденных шагов симплекс-метода, а также известной гипотезой Хирша. Грётчел

и Падберг на основе полного описания многогранников коммивояжёра небольшой размерности ( $n \leq 9$ ) и того факта, что для асимметричной задачи диаметр полиэдрального графа равен 2 [18], высказали следующее предположение.

**Гипотеза 1** [17]. Для любого  $n \geq 5$

$$d(\text{TSP}(n)) = 2.$$

Гипотеза остаётся открытой. Ряд работ был направлен на построение последовательно улучшающихся верхних оценок [20–22] и исследование полиэдральных графов граней многогранника коммивояжёра [22, 23]. Лучшая на данный момент оценка сверху равна 4 [20]. Диаметр обобщения многогранника задачи коммивояжёра — многогранника  $k$ -циклов, т. е. выпуклой оболочки характеристических векторов циклов на  $k$  вершинах в полном графе  $K_n$ , — рассматривался в работе [16].

Плотность полиэдрального графа служит нижней оценкой вычислительной сложности в классе так называемых алгоритмов прямого типа, основанных на линейных сравнениях. Более того, выяснилось, что эта характеристика полиномиальна для известных полиномиально разрешимых задач и сверхполиномиальна для труднорешаемых (см., например, [4, 5, 8]). Так, для многогранника симметричной задачи коммивояжёра известна сверхполиномиальная по размерности пространства нижняя оценка на плотность полиэдрального графа.

**Теорема 2** [3]. Плотность полиэдрального графа многогранника симметричной задачи коммивояжёра сверхполиномиальна по параметру  $n$ :

$$\omega(\text{TSP}(n)) \geq 2^{(\sqrt{\lfloor \frac{n}{2} \rfloor} - 9)/2}.$$

Огромное число работ посвящено изучению полиномиально разрешимых частных случаев задачи коммивояжёра (см., например, обзоры [11, 15]). Значительный класс подобных задач связан с пирамидальными маршрутами коммивояжёра. Гамильтонов цикл

$$\phi = \langle 1, i_1, i_2, \dots, i_r, n, j_1, j_2, \dots, j_{n-r-2} \rangle$$

называется *пирамидальным*, если

$$i_1 < i_2 < \dots < i_r \quad \text{и} \quad j_1 > j_2 > \dots > j_{n-r-2}.$$

Другими словами, коммивояжёр начинает путь в городе с номером 1, посещает некоторые города в порядке возрастания номеров, достигает

города  $n$  и возвращается в исходный, проходя все оставшиеся города в порядке убывания номеров. Пирамидальные циклы обладают двумя замечательными свойствами. Во-первых, пирамидальный цикл минимальной длины может быть найден с помощью динамического программирования за время  $O(n^2)$  при том, что общее число допустимых пирамидальных циклов экспоненциально по  $n$  [6, 15]. Во-вторых, известны простые и достаточно естественные ограничения для матрицы расстояний, которые гарантируют существование маршрута коммивояжёра минимальной длины, являющегося пирамидальным.

Впервые ограничения на матрицу расстояний, связанные с полиномиально разрешимыми пирамидальными случаями задачи коммивояжёра, исследовались в работе В. С. Айзенштата и Д. Н. Кравчука [1], где рассматривался некоторый частный случай массива Монжа. Гилмор, Лоулер и Шмойс обобщили этот результат для массива Монжа произвольного вида [15]. Впоследствии были описаны различные классы матриц расстояний с аналогичными свойствами, в том числе: матрицы Ван дер Вина, матрицы Демиденко, матрицы Кальмансона, матрицы Супника и многие другие [11, 15]. Полная классификация ограничений на матрицу расстояний по четырём точкам, когда ограничение накладывается на расстояния между любыми четырьмя городами, порождающих полиномиально разрешимые частные случаи задачи коммивояжёра приведена в работе [13].

Однако полиэдральные характеристики пирамидальных циклов и их связь с общей задачей коммивояжёра никогда прежде не выступали объектом непосредственного изучения.

Результаты работы были представлены на XVII Байкальской международной школе-семинаре «Методы оптимизации и их приложения» (с. Максимиха, Бурятия, 31 июля — 6 августа 2017 г.) [9] и Европейской конференции по комбинаторике, теории графов и приложениям (Eurocomb 2017, Вена, Австрия, 28 августа — 1 сентября 2017 г.) [10].

### 1. Многогранник пирамидальных циклов

Рассмотрим полный взвешенный неориентированный граф  $K_n$  с множеством рёбер  $E$ . Обозначим через  $PT_n$  множество всех пирамидальных гамильтоновых циклов в  $K_n$ . Каждому пирамидальному гамильтонову циклу  $x \in PT_n$  сопоставим характеристический вектор  $x^v \in \mathbb{R}^E$  по следующему правилу:

$$x_e^v = \begin{cases} 1, & \text{если ребро } e \in E \text{ входит в цикл } x, \\ 0 & \text{в противном случае.} \end{cases}$$

Многогранник

$$\text{PYR}(n) = \text{conv}\{x^v \mid x \in PT_n\}$$

называется *многогранником пирамидальных циклов*.

Будем использовать специальную кодировку для представления пирамидальных циклов. Для этого каждому пирамидальному циклу  $x \in PT_n$  сопоставим 0/1-вектор  $x^c \in \mathbb{R}^{n-3}$  по следующему правилу:

$$\forall i (3 \leq i \leq n - 1)$$

$$x_i^c = \begin{cases} 1, & \text{если вершина } i \text{ входит в пирамидальный цикл } x \\ & \text{по направлению возрастания,} \\ 0 & \text{в противном случае.} \end{cases}$$

Отметим, что в силу симметричной постановки задачи коммивояжёра все циклы являются неориентированными. Таким образом, направления «возрастания вершин» и «убывания вершин» в пирамидальном маршруте являются вопросом договорённости. Будем считать направлением по возрастанию то, которое содержит ребро  $(1, 2)$ . Нумерацию координат в векторе  $x^c$  будем начинать с 3, так как это первая потенциальная развилка на пирамидальном маршруте. Поэтому общее число пирамидальных циклов в графе  $K_n$  (вершин многогранника  $\text{PYR}(n)$ ) составляет  $2^{n-3}$ . Пример пирамидального цикла и соответствующей ему кодировки приведён на рис. 1.

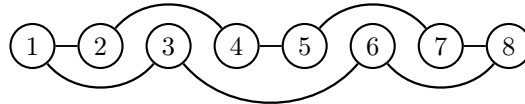


Рис. 1. Пример пирамидального цикла  $\langle 0, 1, 1, 0, 1 \rangle$

## 2. Граф многогранника пирамидальных циклов

**Лемма 1.** *Для того чтобы две вершины  $x^v$  и  $y^v$  многогранника пирамидальных циклов  $\text{PYR}(n)$  были несмежны, необходимо и достаточно, чтобы из рёбер соответствующих пирамидальных циклов  $x$  и  $y$  можно было составить новый пирамидальный цикл.*

**ДОКАЗАТЕЛЬСТВО.** НЕОБХОДИМОСТЬ непосредственно вытекает из предположения о несмежности вершин  $x^v$  и  $y^v$ . Действительно, несмежность  $x^v$  и  $y^v$  означает, что соединяющий их отрезок содержит некоторую выпуклую комбинацию остальных вершин многогранника  $\text{PYR}(n)$ :

$$\begin{aligned}\alpha x^v + \beta y^v &= \sum \gamma_z z^v, \\ \alpha + \beta &= \sum \gamma_z = 1, \\ \alpha \geq 0, \beta \geq 0, \gamma_z &\geq 0.\end{aligned}$$

В этой выпуклой комбинации хотя бы одна точка  $z^v$  имеет положительный коэффициент  $\gamma_z$ . Отсюда и из того, что все вершины многогранника  $\text{PYR}(n)$  булевы, вытекает, что пирамидальный цикл  $z$ , соответствующий вершине  $z^v$ , составлен из рёбер циклов  $x$  и  $y$ .

**ДОСТАТОЧНОСТЬ.** Предположим, что из рёбер циклов  $x$  и  $y$  можно составить новый пирамидальный цикл  $z$ . Рассмотрим мультиграф  $G = x \cup y$ , причём рёбра, принадлежащие одновременно  $x$  и  $y$ , входят в граф  $G$  в двух экземплярах. Тогда степень каждой вершины графа  $G$  равна четырём. Пусть  $w = G \setminus z$ . Покажем, что  $w$  также является пирамидальным циклом. По построению степень каждой вершины  $w$  равна 2. Таким образом,  $w$  состоит из одного или нескольких циклов. При этом для любого  $k$  ( $1 < k < n$ ) среди двух оставшихся рёбер, инцидентных вершине  $k$ , одно имеет вид  $(i, k)$ , где  $i < k$ , а другое —  $(k, j)$ , где  $k < j$ . Если  $w$  состоит из более чем одного цикла, то найдётся цикл, не содержащий вершины  $n$ . Пусть  $k$  — вершина с максимальным номером в этом цикле. Тогда обе вершины, смежные с  $k$  в графе  $w$ , имеют меньшие номера; противоречие. Лемма 1 доказана.

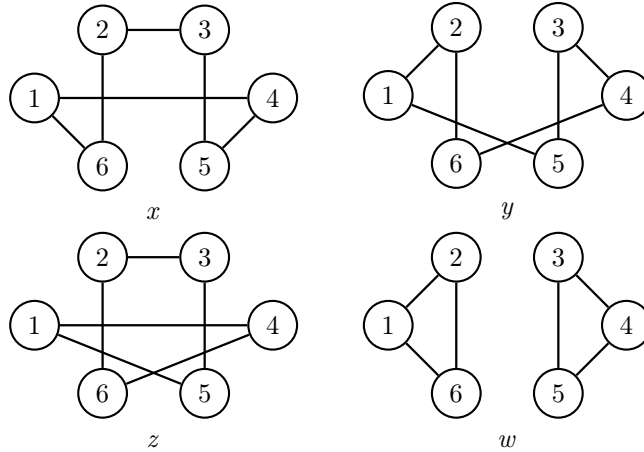


Рис. 2. Пример  $w = (x \cup y) \setminus z$ , не являющегося гамильтоновым циклом

Следует отметить, что аналогичное утверждение без условия пирамидальности: если из рёбер гамильтоновых циклов  $x$  и  $y$  можно составить третий гамильтонов цикл  $z$ , то оставшиеся рёбра также образуют

гамильтонов цикл, в общем случае неверно. В качестве примера можно рассмотреть гамильтоновы циклы, приведённые на рис. 2.

**Теорема 3.** *Две вершины  $x^v$  и  $y^v$  многогранника  $PYR(n)$  несмежны тогда и только тогда, когда выполнено одно из двух достаточных условий:*

1) найдутся такое  $k$  ( $3 < k < n - 2$ ), что

$$x_k^c = y_k^c \neq x_{k+1}^c = y_{k+1}^c, \quad (1)$$

и такие  $i$  ( $i < k$ ) и  $j$  ( $j > k + 1$ ), что

$$x_i^c \neq y_i^c, \quad x_j^c \neq y_j^c; \quad (2)$$

2) найдутся такое  $k$  ( $3 \leq k < n - 2$ ), что

$$x_k^c = y_{k+1}^c \neq x_{k+1}^c = y_k^c, \quad (3)$$

и такое  $j$  ( $j > k + 1$ ), что

$$x_j^c = y_j^c. \quad (4)$$

**Доказательство. Достаточность.** Пусть выполнено первое достаточное условие. Построим пирамидальный цикл  $z$  по следующему правилу:

$$z_i^c = \begin{cases} x_i^c, & \text{если } i \leq k, \\ y_i^c, & \text{если } i > k. \end{cases}$$

По построению цикл  $z$  полностью состоит из рёбер циклов  $x$  и  $y$ . Переход между рёбрами двух циклов осуществляется по условию (1). При этом  $z$  отличен от циклов  $x$  и  $y$  в силу (2):

$$z_i^c \neq y_i^c, \quad z_j^c \neq x_j^c.$$

По лемме 1 вершины  $x^v$  и  $y^v$  многогранника  $PYR(n)$  несмежны.

Пример выполнения первого достаточного условия для циклов  $x^c = \langle 1, 1, 0, 1, 1 \rangle$ ,  $y^c = \langle 0, 1, 0, 0, 1 \rangle$  и  $k = 4$  приведён на рис. 3.

Пусть теперь выполнено второе достаточное условие. Построим пирамидальный цикл  $z$  по следующему правилу:

$$z_i^c = \begin{cases} x_i^c, & \text{если } i \leq k, \\ 1 - y_i^c, & \text{если } i > k. \end{cases}$$

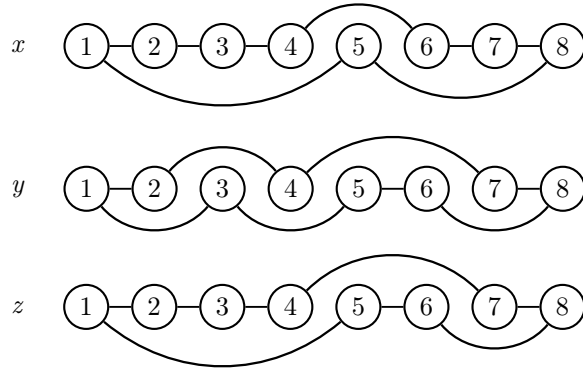


Рис. 3. Пример выполнения первого достаточного условия

Отличие от первого случая заключается в том, что после перехода между циклами по условию (3) рёбра  $y$  по направлению убывания становятся рёбрами  $z$  по направлению возрастания, и наоборот. Это допустимо в силу симметричной постановки задачи коммивояжёра. Построенный таким образом цикл  $z$  отличен от циклов  $x$  и  $y$  вследствие (4):

$$z_j^c \neq x_j^c = y_j^c.$$

По лемме 1 вершины  $x^v$  и  $y^v$  многогранника  $\text{PYR}(n)$  несмежны.

Пример выполнения второго достаточного условия для циклов  $x^c = \langle 0, 1, 0, 0, 0 \rangle$ ,  $y^c = \langle 1, 0, 1, 0, 0 \rangle$  и  $k = 4$  приведён на рис. 4.

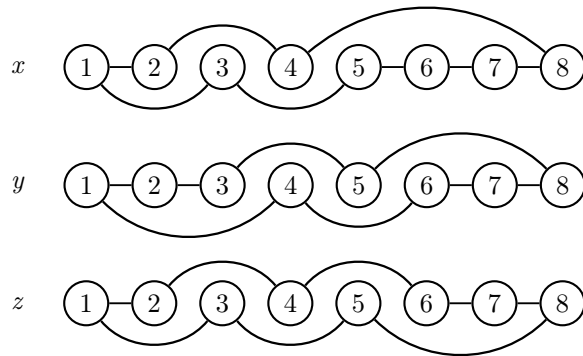


Рис. 4.

**НЕОБХОДИМОСТЬ.** Пусть найдётся пирамидальный цикл  $z$ , состоящий из рёбер  $x$  и  $y$ , но отличный от них. Предположим, что цикл  $z$  входит в вершину  $n$  по ребру  $(i, n)$  цикла  $x$ , а выходит по рёбрам цикла  $y$ ,



т. е. в вершине  $n$  происходит переход между двумя циклами. Тогда для соблюдения корректности пирамидального цикла  $z$  должен пройти на обратном пути все вершины  $j$  ( $i < j < n$ ), пропущенные ранее в цикле  $x$ , и обойти уже пройденную вершину  $i$ :

$$x_j^c = y_j^c, x_i^c = y_i^c \text{ или } x_j^c = 1 - y_j^c, x_i^c = 1 - y_i^c.$$

Но в таком случае ребро  $(i, n)$  также принадлежит циклу  $y$ . Итак, можно считать, что цикл  $z$  входит в вершину  $n$  и выходит из неё по рёбрам одного цикла. Пусть это цикл  $y$  (иначе следует здесь и далее заменить  $y$  на  $x$ ). Кроме того, если какое-то ребро  $z$  принадлежит обоим циклам  $x$  и  $y$ , то будем считать, что в  $z$  попало ребро из  $y$ .

Отметим, что  $z$  содержит как минимум два ребра из  $x \setminus y$ , т. е. уникальных для цикла  $x$ : одно ребро для маршрута по возрастанию и одно — по убыванию. В противном случае  $z$  совпадает с  $y$ .

Выберем пару уникальных рёбер  $x$ , попавших в  $z$ :  $(i, k)$  — по возрастанию,  $(s, q)$  — по убыванию с наибольшими номерами вершин  $k$  и  $q$ . Без ограничения общности будем считать, что  $q < k$ . Так как циклы неориентированны, направление обхода можно изменить на противоположное. Переобозначим направление возрастания как то, что содержит уникальное ребро с наибольшим номером вершины. Вариант  $k = q$  исключается, иначе вершина с номером  $k$  проходится в цикле  $z$  два раза. Также отметим, что по построению  $k < n$ .

Без ограничения общности можно положить  $x_i^c = x_k^c = 1$ . Вариант  $x_i^c = x_k^c = 0$  рассматривается полностью аналогично. По построению для соблюдения корректности пирамидального цикла имеем

$$x_i^c = x_k^c = z_i^c = z_k^c = 1, \quad \forall j (i < j < k) \quad z_j^c = x_j^c = 0. \quad (5)$$

Таким образом, на фрагменте  $[i, k]$  цикл  $z$  состоит из рёбер, входящих в цикл  $x$ .

Так как ребро  $(i, k)$  имеет наибольший номер  $k$  среди уникальных рёбер  $x$ , попавших в  $z$ , рассматриваемый цикл в вершине  $k$  переходит с рёбер  $x$  на рёбра  $y$ , проходит вершину  $n$  и движется по рёбрам  $y$  до вершины  $q$  — следующего уникального ребра  $x$ . Таким образом, на фрагменте  $[q, n]$  цикл  $z$  состоит из рёбер  $y$ . Рассмотрим два случая.

СЛУЧАЙ 1. Пусть  $y_k^c = 1$ . Тогда на фрагменте  $[q, n]$  цикл  $z$  наследует направления возрастания и убывания цикла  $y$ :

$$\forall j \geq q \quad z_j^c = y_j^c. \quad (6)$$

С учётом неравенства  $q < k$ , объединяя (5) и (6), получаем блок искомого вида (1):

$$x_k^c = z_k^c = y_k^c = 1, \quad x_{k-1}^c = z_{k-1}^c = y_{k-1}^c = 0.$$

Отметим, что вариант  $i = k - 1$  исключается, в противном случае ребро  $(i, k)$  принадлежит циклу  $y$  и не может быть уникальным для цикла  $x$ .

Остаётся проверить выполнение условия (2). Предположим,  $x_t^c = y_t^c$  для любого  $t < k - 1$ . Тогда с учётом (6) циклы  $z$  и  $y$  совпадают; противоречие.

Предположим, что  $x_j^c = y_j^c$  для любого  $j > k$ . Тогда на фрагменте  $[i, n]$  цикл  $z$  полностью состоит из рёбер  $x$ . Переобозначим цикл  $y$  через  $x$ , найдём в нём уникальное ребро  $(\tilde{i}, \tilde{k})$ , входящее в  $z$  с наибольшим номером  $\tilde{k}$ , и повторим рассуждения. Отметим, что по построению  $\tilde{k} < i$ , а значит, подобных операций может быть только конечное число. На некотором шаге получим противоречие.

Таким образом, при  $y_k^c = 1$  выполнено первое достаточное условие.

СЛУЧАЙ 2. Пусть  $y_k^c = 0$ . Тогда на фрагменте  $[q, n]$  цикл  $z$  инвертирует направления возрастания и убывания цикла  $y$ :

$$\forall j \geq q \quad z_j^c = 1 - y_j^c. \quad (7)$$

Вновь объединяем (5) и (7) и с учётом  $q < n$  получаем блок искомого вида (3):

$$x_k^c = z_k^c = y_{k-1}^c = 1, \quad x_{k-1}^c = z_{k-1}^c = y_k^c = 0.$$

Остаётся проверить выполнение условия (4). Предположим, что  $x_j^c = 1 - y_j^c$  для любого  $j > k$ . Вновь получаем, что на фрагменте  $[i, n]$  цикл  $z$  состоит из рёбер  $x$ . Переобозначим циклы  $x$  и  $y$ , повторив рассуждения предыдущего шага. Через конечное число подобных операций получим противоречие.

Следовательно, для варианта  $y_k^c = 0$  выполнено второе достаточное условие.

Таким образом, комбинация двух достаточных условий будет необходимым условием. Теорема 3 доказана.

Теорема 3 даёт эффективный критерий проверки смежности вершин многогранника пирамидальных циклов  $PYR(n)$  (алгоритм 1). Этот факт принципиально отличает его от общего многогранника задачи коммивояжёра  $TSP(n)$ , для которого аналогичная задача NP-полна (теорема 1).

**Алгоритм 1.** Алгоритм проверки смежности вершин  $\text{PYR}(n)$ 


---

```

1: procedure ADJACENCY( $x, y$ )
2:    $i \leftarrow 3$                                 ▷ Проверка первого достаточного условия
3:   repeat
4:      $i \leftarrow i + 1$ 
5:   until  $x_i^c \neq y_i^c$ 
6:    $k \leftarrow i + 1$ 
7:   repeat
8:      $k \leftarrow k + 1$ 
9:   until  $x_k^c = y_k^c \neq x_{k+1}^c = y_{k+1}^c$                                 ▷ Поиск блока (1)
10:  for  $j \leftarrow k + 2, n - 1$  do
11:    if  $x_j^c \neq y_j^c$  then                                ▷ Выполнено первое достаточное условие
12:      return Вершины  $x^v$  и  $y^v$  несмежны
13:    end if
14:  end for
15:   $k \leftarrow 3$                                 ▷ Проверка второго достаточного условия
16:  repeat
17:     $k \leftarrow k + 1$ 
18:  until  $x_k^c = y_{k+1}^c \neq x_{k+1}^c = y_k^c$                                 ▷ Поиск блока (3)
19:  for  $j \leftarrow k + 2, n - 1$  do
20:    if  $x_j^c = y_j^c$  then                                ▷ Выполнено второе достаточное условие
21:      return Вершины  $x^v$  и  $y^v$  несмежны
22:    end if
23:  end for                                ▷ Необходимое условие несмежности не выполнено
24:  return Вершины  $x^v$  и  $y^v$  смежны
25: end procedure

```

---

**Теорема 4.** Задача проверки смежности вершин многогранника пирамидальных циклов  $\text{PYR}(n)$  разрешима за линейное время  $O(n)$ .

**Доказательство.** Алгоритм 1 в худшем случае требует двойного прохода по координатам векторов  $x^c$  и  $y^c$  для проверки двух достаточных условий несмежности. Теорема 4 доказана.

### 3. Диаметр и плотность графа многогранника пирамидальных циклов

Воспользуемся условием несмежности из теоремы 3 для исследования диаметра и плотности полиэдрального графа многогранника пирамидальных циклов.

**Теорема 5.** Диаметр графа многогранника пирамидальных циклов  $\text{PYR}(n)$  равен 2 для всех  $n \geq 6$ .

**ДОКАЗАТЕЛЬСТВО.** Сначала отметим, что для  $n \leq 5$  необходимое условие из теоремы 3 не выполнено и все вершины полиэдрального графа попарно смежны. Начиная с  $n = 6$  у многогранника  $\text{PYR}(n)$  появляются пары вершин, для которых выполнено хотя бы одно из достаточных условий несмежности. Например, несмежны вершины  $\langle 1, 0, 0 \rangle$  и  $\langle 0, 1, 0 \rangle$ .

Остаётся заметить, что по условию теоремы 3 две вершины с кодами  $\langle 1, 1, 1, \dots, 1 \rangle$  и  $\langle 0, 0, 0, \dots, 0 \rangle$  смежны со всеми вершинами многогранника пирамидальных циклов. Теорема 5 доказана.

Таким образом, если ограничиться рассмотрением лишь пирамидальных циклов, для задачи коммивояжёра гипотеза Грётчела и Падберга о диаметре полиэдрального графа [17] выполнена.

**Теорема 6.** Плотность графа многогранника пирамидальных циклов  $\text{PYR}(n)$  квадратична по параметру  $n$ :

$$\omega(\text{PYR}(n)) = \Theta(n^2). \quad (8)$$

**ДОКАЗАТЕЛЬСТВО.** Оценим плотность полиэдрального графа сверху. Пусть  $Y_v$  — некоторое множество попарно смежных вершин многогранника  $\text{PYR}(n)$ , а  $Y$  — соответствующие им пирамидальные циклы.

Выберем  $k$  ( $3 \leq k \leq n - 2$ ). Пирамидальный цикл  $y \in Y$  назовём *уникальным относительно  $k$* , если

- $y_k^c \neq y_{k+1}^c$ ;
- $z_k^c \neq y_k^c$  или  $z_{k+1}^c \neq y_{k+1}^c$  для любого  $z \in Y \setminus y$ .

Таким образом, блок кода в  $y^c$  на координатах  $[k, k + 1]$  имеет вид  $\langle 1, 0 \rangle$  или  $\langle 0, 1 \rangle$ , и подобного блока на этих координатах нет более ни в одном цикле из  $Y$ .

Построим множество  $W$ , исключив из  $Y$  все уникальные пирамидальные циклы. Отметим, что число исключённых пирамидальных циклов не превышает  $2(n - 4)$ . Рассмотрим некоторый цикл  $x \in W$ . Пусть  $x_k^c \neq x_{k+1}^c$  для некоторого  $k$  ( $3 < k < n - 2$ ). По построению множества  $W$  найдётся такой цикл  $y \in W$ , что  $x_k^c = y_k^c$  и  $x_{k+1}^c = y_{k+1}^c$ . Так как вершины  $x^v$  и  $y^v$  многогранника  $\text{PYR}(n)$  смежны, по условию теоремы 3 совпадают или их левые фрагменты кода относительно  $k$

$$\forall i (3 \leq i < k) \quad x_i^c = y_i^c,$$

или правые фрагменты кода

$$\forall j (k + 1 < j \leq n - 1) \quad x_j^c = y_j^c.$$

В противном случае вершины  $x^v$  и  $y^v$  несмежны по первому достаточно-му условию.

Отметим, что для любых циклов с общим блоком совпадающие фрагменты находятся с одной стороны от общего блока. Действительно, предположим, что три цикла  $x, y, z \in W$  имеют общий блок  $[k, k + 1]$  вида  $\langle 1, 0 \rangle$ , но при этом

$$\forall i (3 \leq i < k) \quad x_i^c = y_i^c, \quad \forall j (k + 1 < j \leq n - 1) \quad x_j^c = z_j^c.$$

Тогда, для того чтобы вершин  $y^v$  и  $z^v$  были смежны, у их кодов должны также совпадать или левые части относительно блока  $[k, k + 1]$  (в таком случае  $x = z$ ) или правые части ( $x = y$ ); противоречие.

Таким образом, для каждого пирамидального цикла из  $W$  все имеющиеся у него блоки вида  $\langle 1, 0 \rangle$  и  $\langle 0, 1 \rangle$  можно разбить на два класса: для которых совпадают правые фрагменты и для которых совпадают левые фрагменты. Каждому пирамидальному циклу  $x \in W$  сопоставим вектор  $x^{\rightarrow}$  по следующему правилу:

$$x_k^{\rightarrow} = \begin{cases} (\rightarrow), & \text{если } x_k^c \neq x_{k+1}^c \text{ и относительно блока } [k, k+1] \\ & \text{совпадают правые фрагменты,} \\ (\leftarrow), & \text{если } x_k^c \neq x_{k+1}^c \text{ и относительно блока } [k, k+1] \\ & \text{совпадают левые фрагменты,} \\ (-), & \text{если } x_k^c = x_{k+1}^c. \end{cases}$$

Отметим, что на одном цикле  $x \in W$  совпадающие фрагменты не могут перекрываться. А именно, если для некоторых  $k, s$  имеет место  $x_k^{\rightarrow} = (\leftarrow)$ , а  $x_s^{\rightarrow} = (\rightarrow)$ , то  $k < s$ . Предположим противное. Рассмотрим такой цикл  $y \in W$ , что

$$y_k^c = x_k^c, \quad y_{k+1}^c = x_{k+1}^c, \quad \forall i (3 \leq i < k) \quad x_i^c = y_i^c.$$

По предположению  $s \leq k$ , а значит, блоки  $[s, s + 1]$  у циклов  $x$  и  $y$  также общие:

$$y_s^c = x_s^c, \quad y_{s+1}^c = x_{s+1}^c, \quad \forall j (s + 1 < j \leq n - 1) \quad x_j^c = y_j^c.$$

Циклы  $x$  и  $y$  совпадают; противоречие.

Рассмотрим некоторый цикл  $x \in W$  и выберем наибольшее значение  $k$ , для которого  $x_k^{\rightarrow} = (\leftarrow)$ , и наименьшее значение  $s$ , для которого  $x_s^{\rightarrow} = (\rightarrow)$ . В случае отсутствия у цикла  $x$  блоков  $(\leftarrow)$  или  $(\rightarrow)$  обозначим соответствующий элемент символом  $\emptyset$ . Заметим, что значения координат  $x_{k+1}^c$  и  $x_s^c$  совпадают. В противном случае между  $k + 1$  и  $s$  найдутся ещё блоки вида  $\langle 1, 0 \rangle$  или  $\langle 0, 1 \rangle$ .

Таким образом, каждому циклу  $x \in W$  можно сопоставить тройку  $(k, s, x_{k+1}^c = x_s^c)$ , которая однозначно определяет  $x$  среди циклов в  $W$ . Поскольку  $k, s \in \{4, 5, \dots, n-3, \emptyset\}$ , общее число троек  $(k, s, 0/1)$  не превосходит

$$|W| \leq 2(n-5)(n-6).$$

С учётом исключённых ранее уникальных циклов получаем искомую верхнюю оценку:

$$\omega(\text{PYR}(n)) = O(n^2).$$

Теперь оценим плотность полиэдрального графа  $\text{PYR}(n)$  снизу. Пусть

$$m = \left\lfloor \frac{n-3}{4} \right\rfloor.$$

Рассмотрим множество пирамидальных циклов  $Z$ . Каждой паре  $q, s$ , где  $0 \leq q, s \leq m$ , сопоставим пирамидальный цикл  $x \in Z$  по следующим правилам:

- $\forall i (1 \leq i \leq q) x_{2i+1}^c = 1, x_{2i+2}^c = 0;$
- $\forall j (1 \leq j \leq s) x_{4m-2j+3}^c = 0, x_{4m-2j+4}^c = 1;$
- $\forall k \geq 4m+3 x_k^c = 1;$
- все остальные координаты  $x^c$  равны нулю.

Общее число циклов такого вида составляет  $(m+1)^2$ . Ниже приведён пример множества  $Z$  для  $n = 12$  ( $m = 2$ ):

$$\begin{aligned} (0, 0) &= \langle 0, 0, 0, 0, 0, 0, 0, 0, 1 \rangle, \\ (0, 1) &= \langle 0, 0, 0, 0, 0, 0, 0, 1, 1 \rangle, \\ (0, 2) &= \langle 0, 0, 0, 0, 0, 1, 0, 1, 1 \rangle, \\ (1, 0) &= \langle 1, 0, 0, 0, 0, 0, 0, 0, 1 \rangle, \\ (1, 1) &= \langle 1, 0, 0, 0, 0, 0, 0, 1, 1 \rangle, \\ (1, 2) &= \langle 1, 0, 0, 0, 0, 1, 0, 1, 1 \rangle, \\ (2, 0) &= \langle 1, 0, 1, 0, 0, 0, 0, 0, 1 \rangle, \\ (2, 1) &= \langle 1, 0, 1, 0, 0, 0, 0, 1, 1 \rangle, \\ (2, 2) &= \langle 1, 0, 1, 0, 0, 1, 0, 1, 1 \rangle. \end{aligned}$$

Остаётся проверить, что по построению если  $x_k^c = y_k^c \neq x_{k+1}^c = y_{k+1}^c$  для некоторой пары циклов  $x, y \in Z$ , то

$$\forall i (3 \leq i < k) x_i^c = y_i^c$$

при  $k \leq 2m+2$  и

$$\forall j (k + 1 < j \leq n - 1) \quad x_j^c = y_j^c$$

при  $k > 2m + 2$ . Следовательно, первое достаточное условие несмежности не выполнено. И ни для какой пары циклов  $x, y \in Z$  не имеет место  $x_k^c = y_{k+1}^c \neq x_{k+1}^c = y_k^c$ . Таким образом, второе достаточное условие несмежности также не выполнено, и все вершины многогранника  $\text{PYR}(n)$ , соответствующие пирамидальным циклам из множества  $Z$ , попарно смежны. Получаем нижнюю оценку

$$\omega(\text{PYR}(n)) \geq \left( \left\lfloor \frac{n-3}{4} \right\rfloor + 1 \right)^2,$$

что даёт квадратичную асимптотически точную оценку (8) из условия теоремы. Теорема 6 доказана.

Значение плотности графа многогранника пирамидальных циклов  $\text{PYR}(n)$  принципиально отличается от экспоненциальной плотности многогранника задачи коммивояжёра  $\text{TSP}(n)$  (теорема 2). Напомним, что плотность полиэдрального графа служит нижней оценкой на трудоёмкость в классе алгоритмов прямого типа [4]. Следует также отметить, что значение плотности  $\Theta(n^2)$  коррелирует с трудоёмкостью  $O(n^2)$  алгоритма динамического программирования для задачи коммивояжёра на множестве пирамидальных циклов полного графа  $K_n$  [6, 15].

#### 4. Заключение

Приведённые в статье результаты наряду с полученными ранее для других комбинаторных задач свидетельствуют о существовании связи между характеристиками полиэдрального графа и сложностью задачи. Так, для полиномиально разрешимых задач о минимальном разрезе, остовном дереве, кратчайшем пути и ряда других полиэдральные графы полностью описаны и имеют полиномиальную плотность [2, 4, 8], в то время как для NP-трудных задач о максимальном разрезе, об остовном дереве с ограничениями на число листьев и степени вершин, о самом длинном пути и многих других построены экспоненциальные нижние оценки на плотность графов ассоциированных многогранников [4, 5, 8]. А для таких задач, как КОММИВОЯЖЁР и РЮКЗАК, даже проверка смежности вершин полиэдрального графа является NP-полной задачей [14, 19].

Таким образом, рассматриваемый в статье многогранник пирамидальных циклов намного ближе по своим полиэдральным свойствам к многогранникам других полиномиально разрешимых задач, таких как ОСТОВНОЕ ДЕРЕВО и КРАТЧАЙШИЙ ПУТЬ, а не к многограннику общей задачи коммивояжёра.

## ЛИТЕРАТУРА

1. Айзенштат В. С., Кравчук Д. Н. О минимуме линейной формы на множестве всех полных циклов симметрической группы  $S_n$  // Кибернетика. 1968. № 2. С. 64–66.
2. Белов Ю. А. О плотности графа матроида // Модели исследования операций в вычислительных системах. Ярославль, 1985. С. 95–100.
3. Бондаренко В. А. Неполиномиальная нижняя оценка сложности задачи коммивояжера в одном классе алгоритмов // Автоматика и телемеханика. 1983. № 9. С. 45–50.
4. Бондаренко В. А., Максименко А. Н. Геометрические конструкции и сложность в комбинаторной оптимизации. М.: ЛКИ, 2008. 184 с.
5. Бондаренко В. А., Николаев А. В., Шовгенов Д. А. Полиэдральные графы задач об остовных деревьях при дополнительных ограничениях // Моделирование и анализ информационных систем. 2015. Т. 22, № 4. С. 453–463.
6. Кляус П. С. Обобщение тестовых задач для задачи коммивояжера // Препринт № 16, Ин-т математики АН БССР, Минск, 1976.
7. Applegate D. L., Bixby R. E., Chvátal V., Cook W. J. The traveling salesman problem: a computational study. Princeton, NJ: Princeton Univ. Press, 2007. 608 p.
8. Bondarenko V. A., Nikolaev A. V. On graphs of the cone decompositions for the min-cut and max-cut problems // Int. J. Math. Math. Sci. 2016. Vol. 2016. P. 1–6.
9. Bondarenko V. A., Nikolaev A. V. On the skeleton of the pyramidal tours polytope // Abstr. 17th Baikal Int. School - Seminar “Methods of Optimization and Their Applications”. Irkutsk: ESI SB RAS, 2017. P. 84.
10. Bondarenko V. A., Nikolaev A. V. Some properties of the skeleton of the pyramidal tours polytope // Electron. Notes Discrete Math. 2017. Vol. 61. P. 131–137.
11. Burkard R. E., Deineko V. G., Van Dal R., Van der Veen J. A. A., Woeginger G. J. Well-solvable special cases of the traveling salesman problem: a survey // SIAM Rev. 1998. Vol. 40, No. 3. P. 496–546.
12. Dantzig G., Fulkerson R., Johnson S. Solution of a large scale traveling salesman problem. Tech. Rep. P-510. RAND Corp., Santa Monica, CA, 1954.
13. Deineko V. G., Klinz B., Tiskin A., Woeginger G. J. Four-point conditions for the TSP: the complete complexity classification // Discrete Optim. 2014. Vol. 14. P. 147–159.
14. Geist D., Rodin E. Y. Adjacency of the 0–1 knapsack problem // Comput. Oper. Res. 1992. Vol. 19, No. 8. P. 797–800.
15. Gilmore P. C., Lawler E. L., Shmoys D. B. Well-solved special cases // The traveling salesman problem: a guided tour of combinatorial optimization. Chichester: Wiley, 1985. P. 87–143.



16. **Girlich E., Höding M., Horbach A., Kovalev M.** On the facets and diameter of the  $k$ -cycle polytope // Optimization. 2006. Vol. 55, No. 4. P. 311–339.
17. **Grötschel M., Padberg M.** Polyhedral theory // The traveling salesman problem: a guided tour of combinatorial optimization. Chichester: Wiley, 1985. P. 251–305.
18. **Padberg M. W., Rao M. R.** The travelling salesman problem and a class of polyhedra of diameter two // Math. Program. 1974. Vol. 7, No. 1. P. 32–45.
19. **Papadimitriou C. H.** The adjacency relation on the traveling salesman polytope is NP-complete // Math. Program. 1978. Vol. 14, No. 1. P. 312–324.
20. **Rispoli F. J., Cosares S.** A bound of 4 for the diameter of the symmetric traveling salesman polytope // SIAM J. Discrete Math. 1998. Vol. 11, No. 3. P. 373–380.
21. **Sierksma G.** The skeleton of the symmetric traveling salesman polytope // Discrete Appl. Math. 1993. Vol. 43, No. 1. P. 63–74.
22. **Sierksma G., Teunter R. H., Tijssen G. A.** Faces of diameter two on the Hamiltonian cycle polytope // Oper. Res. Lett. 1995. Vol. 18, No. 2. P. 59–64.
23. **Sierksma G., Tijssen G. A.** Faces with large diameter on the symmetric traveling salesman polytope // Oper. Res. Lett. 1992. Vol. 12, No. 2. P. 73–77.

Бондаренко Владимир Александрович,  
Николаев Андрей Валерьевич

Статья поступила  
3 марта 2017 г.

ON THE SKELETON OF THE POLYTOPE  
OF PYRAMIDAL TOURSV. A. Bondarenko<sup>a</sup> and A. V. Nikolaev<sup>b</sup>Demidov Yaroslavl State University,  
14 Sovetskaya St., 150003 Yaroslavl, Russia*E-mail:* <sup>a</sup>bond@bond.edu.yar.ru, <sup>b</sup>andrei.v.nikolaev@gmail.com

**Abstract.** We consider the skeleton of the polytope of pyramidal tours. A Hamiltonian tour is called *pyramidal* if the salesperson starts in city 1, then visits some cities in increasing order of their numbers, reaches city  $n$ , and returns to city 1 visiting the remaining cities in decreasing order. The polytope  $\text{PYR}(n)$  is defined as the convex hull of the characteristic vectors of all pyramidal tours in the complete graph  $K_n$ . The skeleton of  $\text{PYR}(n)$  is the graph whose vertex set is the vertex set of  $\text{PYR}(n)$  and the edge set is the set of *geometric edges* or one-dimensional faces of  $\text{PYR}(n)$ . We describe the necessary and sufficient condition for the adjacency of vertices of the polytope  $\text{PYR}(n)$ . On this basis we developed an algorithm to check the vertex adjacency with linear complexity. We establish that the diameter of the skeleton of  $\text{PYR}(n)$  equals 2, and the asymptotically exact estimate of the clique number of the skeleton of  $\text{PYR}(n)$  is  $\Theta(n^2)$ . It is known that this value characterizes the time complexity in a broad class of algorithms based on linear comparisons. Illustr. 4, bibliogr. 23.

**Keywords:** pyramidal tour, 1-skeleton, necessary and sufficient condition of adjacency, clique number, graph diameter.

## REFERENCES

1. V. S. Aizenshtat and D. N. Kravchuk, On the minimum of a linear form on the set of all cycles of the symmetric group  $S_n$ , *Kibern.*, **2**, 64–66, 1968 [Russian]. Translated in *Cybern.*, **4**, 52–53, 1968.
2. Yu. A. Belov, On clique number of the matroid graph, *Modeli issledovaniya operatsii v vychislitel'nykh sistemakh* (Operations Research Models in Computing Systems), pp. 95–100, Yarosl. Gos. Univ., Yaroslavl, 1985 [Russian].
3. V. A. Bondarenko, Nonpolynomial lower bounds for the complexity of the traveling salesman problem in a class of algorithms, *Avtom. Telemekh.*, No. 9, 44–50, 1983 [Russian]. Translated in *Autom. Remote Control*, **44**, No. 9, 1137–1142, 1983.

4. **V. A. Bondarenko** and **A. N. Maksimenko**, Geometricheskie konstruktsii i slozhnost' v kombinatornoi optimizatsii (Geometric constructions and complexity in combinatorial optimization), LKI, Moscow, 2008 [Russian].
5. **V. A. Bondarenko**, **A. V. Nikolaev**, and **D. A. Shovgenov**, 1-skeletons of the spanning tree problems with additional constraints, *Model. Anal. Inf. Syst.*, **22**, No. 9, 453–463, 2015 [Russian].
6. **P. S. Klyaus**, Generation of testproblems for the traveling salesman problem, *Prepr. Inst. Mat. Akad. Nauk BSSR*, No. 16, Inst. Mat. AN BSSR, Minsk, 1976 [Russian].
7. **D. L. Applegate**, **R. E. Bixby**, **V. Chvátal**, and **W. J. Cook**, *The Traveling Salesman Problem: A Computational Study*, Princeton Univ. Press, Princeton, NJ, 2007.
8. **V. A. Bondarenko** and **A. V. Nikolaev**, On graphs of the cone decompositions for the min-cut and max-cut problems, *Int. J. Math. Math. Sci.*, **2016**, 1–6, 2016.
9. **V. A. Bondarenko** and **A. V. Nikolaev**, On the skeleton of the pyramidal tours polytope, in *Abstr. 17th Baikal Int. Sch. Semin. Conf. "Methods of Optimization and Their Applications"*, Irkutsk, Russia, July 31 – Aug. 6, 2017, p. 84, ESI SB RAS, Irkutsk, 2017.
10. **V. A. Bondarenko** and **A. V. Nikolaev**, Some properties of the skeleton of the pyramidal tours polytope, *Electron. Notes Discrete Math.*, **61**, 131–137, 2017.
11. **R. E. Burkard**, **V. G. Deineko**, **R. van Dal**, **J. A. A. van der Veen**, and **G. J. Woeginger**, Well-solvable special cases of the traveling salesman problem: A survey, *SIAM Rev.*, **40**, No. 3, 496–546, 1998.
12. **G. Dantzig**, **R. Fulkerson**, and **S. Johnson**, Solution of a large scale traveling salesman problem, *Tech. Rep. P-510*, RAND Corp., Santa Monica, CA, 1954.
13. **V. G. Deineko**, **B. Klinz**, **A. Tiskin**, and **G. J. Woeginger**, Four-point conditions for the TSP: The complete complexity classification, *Discrete Optim.*, **14**, 147–159, 2014.
14. **D. Geist** and **E. Y. Rodin**, Adjacency of the 0–1 knapsack problem, *Comput. Oper. Res.*, **19**, No. 8, 797–800, 1992.
15. **P. C. Gilmore**, **E. L. Lawler**, and **D. B. Shmoys**, Well-solved special cases, in *The Traveling Salesman Problem: A Guided Tour of Combinatorial Optimization*, pp. 87–143, Wiley, Chichester, UK, 1985.
16. **E. Girlich**, **M. Höding**, **A. Horbach**, and **M. Kovalev**, On the facets and diameter of the  $k$ -cycle polytope, *Optim.*, **55**, No. 4, 311–339, 2006.
17. **M. Grötschel** and **M. Padberg**, Polyhedral theory, in *The Traveling Salesman Problem: A Guided Tour of Combinatorial Optimization*, pp. 251–305, Wiley, Chichester, UK, 1985.
18. **M. W. Padberg** and **M. R. Rao**, The travelling salesman problem and a class of polyhedra of diameter two, *Math. Program.*, **7**, No. 1, 32–45, 1974.

19. **C. H. Papadimitriou**, The adjacency relation on the traveling salesman polytope is NP-complete, *Math. Program.*, **14**, No. 1, 312–324, 1978.
20. **F. J. Rispoli** and **S. Cosares**, A bound of 4 for the diameter of the symmetric traveling salesman polytope, *SIAM J. Discrete Math.*, **11**, No. 3, 373–380, 1998.
21. **G. Sierksma**, The skeleton of the symmetric traveling salesman polytope, *Discrete Appl. Math.*, **43**, No. 1, 63–74, 1993.
22. **G. Sierksma**, **R. H. Teunter**, and **G. A. Tjissen**, Faces of diameter two on the Hamiltonian cycle polytope, *Oper. Res. Lett.*, **18**, No. 2, 59–64, 1995.
23. **G. Sierksma** and **G. A. Tjissen**, Faces with large diameter on the symmetric traveling salesman polytope, *Oper. Res. Lett.*, **12**, No. 2, 73–77, 1992.

Vladimir A. Bondarenko,  
Andrei V. Nikolaev

Received  
3 March 2017